

査した。

図2・7にシステムIの連続した9回の再生時の温度分布を示す。図中には、DPFの半径方向のAからGの温度測定点を示す。再生No.2～7迄は比較的安定した温度分布を示している。しかし、No.1と8では、各部の温度が全体に上昇する再生が起こっている。この時のDPFの周辺の温度は中心に比べて低い。未着火のPMが残留し、何回かの再生に一度の割合で、残留PMが燃焼すると考えられる。電気ヒータ再生方式は、再生時のガス量が少なく、DPF全体を均一な温度にすることが難しいものと考えられる。

### 3.まとめ

以上の結果をまとめると以下のようになる。

- ① DPFシステムによるPMの低減効果は大きい。  
SOFの捕集効率はISOFほどは高くない。
- ② DPFによる燃料消費量の悪化は電気ヒータとバーナ再生方式で3～5%である。吸排気再生方式の燃料消費量は極端に多くなる。
- ③ 吸排気絞りの再生方式は、全量のエンジン排気を流すために、再生時の温度分布が均一になりDPFに与える熱的な影響は少ないと考えられる。電気ヒータ再生方式においては、より均一な温度分布になる燃焼法が必要となる。

## II-4 DPFシステム搭載車両の性能

前項のエンジンベンチ試験に供試したDPFシステムと基本的に同じ仕様のシステムを車両に搭載し、車両としての実用性について調査した。調査対象車は、大型路線バス4台である。DPFシステムを搭載し、実走行を行う上での初期トラブル、熱害、排出ガスおよびPMの低減率、騒音などについて評価した。

### 1.供試車両

表1・1に供試車両諸元を示す。各供試車両のエンジン排気量は、9.8～12.5リットルで、最大出力が230PS前後の無過給エンジンである。各供試車両に取り付けられたDPFシステムのDPFは、いずれもセラミックのWFM型でシングルDPFバイパス方式である。車両Aがバーナ方式、他の3台の車両は電気ヒータ方式を採用し、車両Dは車外電源を使用して長時間の再生を行う特徴を持っている。いずれのDPFシステムも触媒は使用していない。資料III-4の1にDPFシステムを搭載した車両の概要を示す。

表1・1 供試車両諸元

| 車両         | A     | B     | C     | D     |
|------------|-------|-------|-------|-------|
| 車両重量 (kg)  | 8950  | 9320  | 9560  | 9630  |
| 乗車定員 (人)   | 79    | 87    | 94    | 89    |
| 車両総重量 (kg) | 13295 | 14105 | 14730 | 14525 |
| 供試エンジン     |       |       |       |       |
| 気筒数        | 6     | 6     | 6     | 6     |
| 排気量 (ℓ)    | 11.8  | 11.2  | 9.9   | 12.5  |
| 燃焼室        | DI-NA | DI-NA | DI-NA | DI-NA |
| 最大出力 (PS)  | 230   | 225   | 230   | 235   |

## 2. 試験方法および結果・考察

### (1) 安全性

走行中にDPFに捕集されたPMが自己再生し、DPF本体付近の温度上昇がないか、あるいは着火源として用いられるバーナなどの装置が熱害の原因にならないかなど、安全性について確認した。捕集時の走行中の安全性については、都市内の路線バスの走行を模擬した運転を行い、走行ならびに再生中のDPF内および装置周辺の温度を測定し、DPFシステム周辺の部品におよぼす熱害を調査した。走行試験は、JARI内の試験路を使用した。走行モードは、20と40km/hの定常走行に発進加速と減速停止ならびに加減速モードを組み合わせたもので、東京都内の実走行データをもとに作成したものである。資料Ⅲ-4の2に走行パターンおよび試験路を示す。再生時の熱害の試験は、通常

の捕集量の約2倍のPMを再生させ、DPF本体各部と周辺の温度を測定した。温度測定位置を資料Ⅲ-4の1の図2、4、6、8に示す。

表2-1に熱害に関する試験結果を示す。走行中のDPF内ならびにテールパイプ部の排気温度は200～250°Cの範囲であり、走行中に捕集PMが自己着火して、再生が起きるようなことはない。DPF上面の床部の温度は最高で70°Cを示すことがあったが、走行中ならびに再生中に熱害を受けた部品はなかった。

バーナ再生方式のシステムAの再生時のDPF温度は約660°Cで、電気再生方式の一部には1000°Cを越えるシステムもあったが、周囲の温度は70～90°Cであった。再生時の熱害試験でも、排出ガスによって熱害を受けた部品はなかった。

### (2) 排気走行騒音

改造後の供試車両の走行騒音を測定し、現行規制値を超えないことを確認した。騒音試験は、TRIAS20-1988にしたがって行った。表2-2に騒音試験結果を示す。

表2-1 热害に関する試験結果

| 車両<br>DPFシステム                                | A  | B   | C   | D   |
|--|--|---|---|---|
| DPF周囲温度<br>(最高温度) (°C)                       | DPF入口 250<br>DPF内部 230<br>DPF出口 210  | DPF入口 255<br>DPF内部 250<br>DPF出口 245   | DPF入口 240<br>DPF内部 240<br>DPF出口 240<br>ヒータ部 240   | DPF入口 235<br>DPF内部 235<br>DPF出口 235<br>DPF外周 40   |
| 都市内模擬走行モード<br>運転時                            | テールパイプ、DPF 185<br>DPF上面床部 (5cm) 70<br>バーナー出口上面 70  | テールパイプ、DPF 230<br>DPF上面床部 (5cm) 70<br>テールパイプバイパス 35   | テールパイプ、DPF 220<br>DPF上面床部 (5cm) 50  | テールパイプ、DPF 180<br>DPF上方パネル 25<br>ブレーキホース 30   |
| 熱害試験測定値<br>(最高温度) (°C)                       | サイレンサマウントバー −/66<br>バーナ 36/40<br>ノイズシールラバー<br>(正規の再生/過捕集時の再生) (変速機垂れゴム) −/73   | 硝酸パルブシリナー表面 −/47<br>トラップ本体上パネル 55/55<br>トラップマウントバー −/61<br>ヒータハーネス −/50<br>DPF内部 1039/1043<br>ケース表面 −/339   | トラップケーシング<br>(最下面) −/185<br>DPF内部 1000/1065<br>リッド床面 (トラップ前方) 60/69<br>フレーム<br>エアドライヤホース<br>(トラップ前方) −/72   | 排気ブレーキラバーホース 50/53<br>エアー配管 −/49<br>ヒータ制御用<br>ヒータ端子ラバーキャップ −/96<br>ヒータハーネス −/75<br>ヒータ上方壁面 70/72<br>DPF後方壁面 −/54<br>DPFケース外周表面 270/270<br>DPF内部 910/890 |
| 正規の再生：設計捕集量<br>過捕集時の再生：設計捕集量の2倍<br>再生装置は正規作動 | 排気ブレーキホース −/54<br>エンジンマウントバー −/45<br>DPF入口ガス温度<br>センサー用ハーネス −/51<br>DPF内部 659/668<br>DPF最下面 184/195<br>テールパイプ部排ガス 200/216<br>テールパイプ後流<br>100mm排ガス 183/199<br>床面 (DPF上部) −/41<br>シールラバー<br>(エンジンヘッドカバー) −/54<br>燃料パイプ<br>噴射ノズル頭部 −/50 | 排気 (テールパイプ) 599/625<br>排気 (テールパイプ) 100/105<br>排気<br>(出口100mm後流) 66/66<br>及空気配管 (前部) −/95<br>及空気配管 (後部) −/76<br>排気 (テールパイプ出口) 100/105<br>排気<br>(バイパスバルブ出口) 100/130 | リット床面 (トラップ後部) −/80<br>（バイパスバイプ近接部） −/80<br>エアドライヤホース<br>(バイパスバルブ前部) −/72<br>排気バルブ作動シリンド<br>及空気配管 (後部) −/95<br>排気 (テールパイプ出口) 100/105<br>排気<br>(バイパスバルブ出口) 100/130 | ヒータ端子ラバーキャップ −/78<br>ヒータ下方壁面 −/52<br>ヒータ端子ラバーキャップ −/78<br>テールパイプ部排ガス温度 27/30  |

## フィルタートラップによるディーゼル自動車排出ガスの低減化の実用可能性に関する調査

表2・2 騒音試験結果 (TRIAS 20-1985)

| 供試車両    | 定常走行騒音<br>(dB) | 加速走行騒音<br>(dB) | 排気騒音<br>(dB) |
|---------|----------------|----------------|--------------|
| A       | 73.0           | 80.8           | 86.7         |
| B バイパス側 | 72.2           | 81.1           | 89.5         |
| DPF側    | 72.2           | 80.3           | 87.0         |
|         | 74.4           | 82.0           | 91.0         |
| C       | 71.9           | 80.3           | 90.2         |
| 規制値     | 80             | 83             | 107          |

表2・4 C/D台上試験条件

| 試験 | エンジン回転速度<br>(rpm) | エンジン負荷割合<br>(%) | 車速(km/h)<br>と変速位置 |
|----|-------------------|-----------------|-------------------|
| 1  | 500               | 0(アイドリング)       | 0/ニュートラル          |
| 2  | 1300              | 5               | 40/4 th.          |
| 3  | 1300              | 40              | 40/4 th.          |
| 4  | 1300              | 60              | 40/4 th.          |
| 5  | 1300              | 80              | 40/4 th.          |
| 6  | 1300              | 95              | 40/4 th.          |

す。いずれの供試車両も現行の規制値を越えることはない。

### (3) 排気煙濃度

表2・3に排気煙濃度スモーク3モード試験(TRIAS 24-1972)および無負荷急加速試験の結果を示す。排気煙濃度は、車両C以外はいずれの条件でも0%であった。DPFシステムCに使用されているDPFの捕集効率は他のシステムに使用されたものに比べて初期のPM捕集効率が低いために、再生後の排気煙濃度が高いと考えられる。無負荷急加速試験の排気煙濃度はいずれのシステムにおいても0%であった。

表2・3 排気煙濃度に関する試験結果

| 車両<br>DPFシステム                     | A   | B   | C   | D   |
|-----------------------------------|-----|-----|-----|-----|
| 排気煙濃度測定値<br>(TRIAS 24-1972)       |     |     |     |     |
| 再生前                               |     |     |     |     |
| 1000rpm (%)                       | 0   | 0   | 0   | 0   |
| 60% (%)                           | 0   | 0   | 0   | 0   |
| 100% (%)                          | 0   | 0   | 0   | 0   |
| 再生後                               |     |     |     |     |
| 1000rpm (%)                       | 0   | 0   | 4   | 0   |
| 60% (%)                           | 0   | 0   | 4   | 0   |
| 100% (%)                          | 0   | 0   | 2   | 0   |
| 無負荷急加速<br>排気煙濃度測定値<br>検査基準 4-21-6 |     |     |     |     |
| 再生前/再生後 (%)                       | 0/0 | 0/0 | 0/0 | 0/0 |

### (4) PMおよび排出ガス重量

システムを搭載した車両Dを用いシャシダイナモ台上における定常走行条件のPMの排出量および排出ガスの調査を行った。表2・4に試験条件を示す。

PMのサンプリングには部分希釈トンネル装置を用

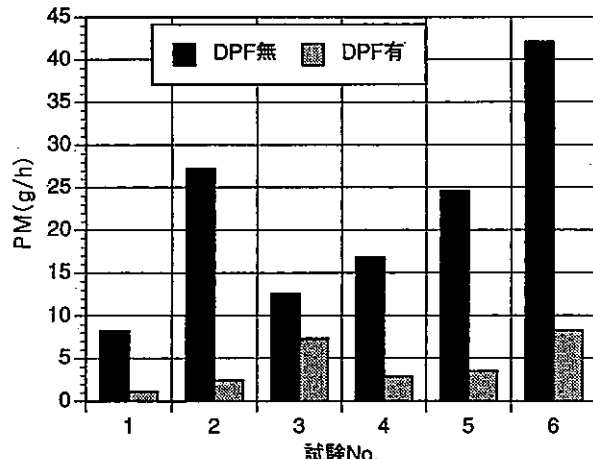


図2・1 PM排出率

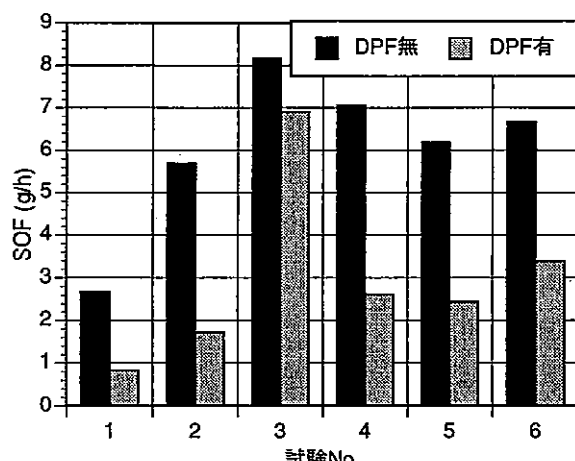


図2・2 SOF排出率

い、濾紙に採取したPMの重量の測定とその中に含まれるSOFを分析した。排出ガスとしては、THC、CO、NO<sub>x</sub>およびCO<sub>2</sub>を測定した。測定方法ならびに分析法は、前項のエンジンベンチ試験で用いた方法と基本的には同じである。

図2・1にPMを図2・2にPM中に含まれるSOFの排

出率を示す。DPF有り無しのPMの排出率を比較すると、DPFを付けることによって全運転条件におけるPMは約80%ほど低減できそうである。PMに比べてSOFの低減効果は低いことがわかった。

図2・3にTHCの排出率を示す。各試験条件におけるDPF有りのTHCの排出率は、DPF無しに比べて低い。図2・4にCOの排出率を、図2・5に試験中のDPF後部中心の温度を示す。試験No. 1～5におけるCOのDPF有無の差はないと言えそうであるが、No. 6ではDPF有りのCO排出率は、無しに比べて高い。このときのDPF内温度は600°Cを越えており、ディーゼルPMの自己着火温度は600°C前後であることから、試験中に自己着火が起きたことが考えられる。図2・6に試験中のエンジンに供給される燃料に対する空気の重量比を表す空気過剰率を示す。試験No. 6の空気過剰率は1.5で、残留酸素濃度が低いために不完全燃焼割合が増えてCOが増加したことが考えられる。このときの測定1条件当たりの試験時間は30分である。しかし、実際の路線バスの一般的な走行条件では、本試験のように30分以上の高負荷運転は希で、COが大量に増加することはないと想定される。

図2・7にNO<sub>x</sub>の排出率を示す。DPFを付けることによるNO<sub>x</sub>の排出率へおよぼす影響はないと考えられる。図2・8にCO<sub>2</sub>の排出率を示す。DPF有りのCO<sub>2</sub>排出率は、無しに比べてやや増加した。DPF有りの試験中は、設定駆動力を維持するためにごく僅かであるが、徐々に噴射量を増やす必要があった。試験中に捕集されるPMの増加に伴って、排気圧が上がり排気仕事が増えたことによると考えられる。しかし、試験No. 6のCO<sub>2</sub>の増加は自己再生によるものと考えられる。

### (5) 再生ガス（再生時に放出されるガス）

再生時に発生するガス（以下再生ガスと記述する）は、エンジンからの排出ガス同様に大気に放出されるため、その排出量を調査する必要がある。再生ガスの測定には、TRIAS 23-1980に定められた10モード試験法のCVS法（Constant Volume Sampling）を用い、再生時のHC、CO、NO<sub>x</sub>、CO<sub>2</sub>濃度とガス流量を測定した。車両A、BおよびCのDPFシステムの再生は、車両が停止中でアイドリング時に作動する安全装置が付いているため、これらのシステムについてはアイドリングガスを含むPM燃焼ガスを測定し、車両D

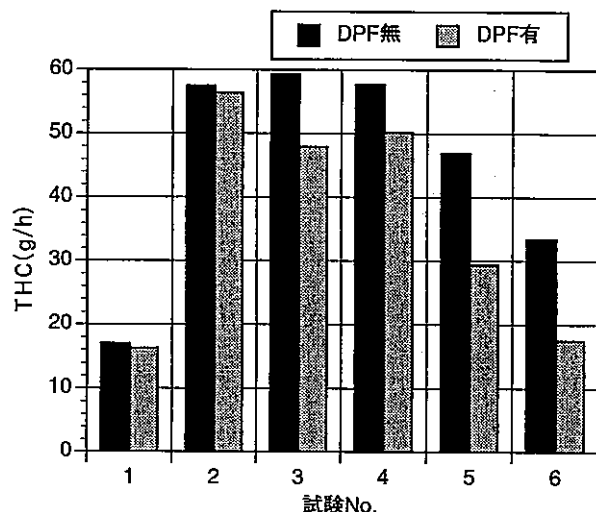


図2・3 THC排出率

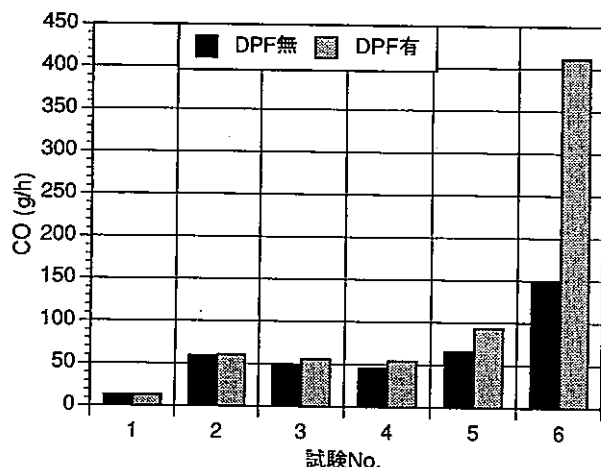


図2・4 CO排出率

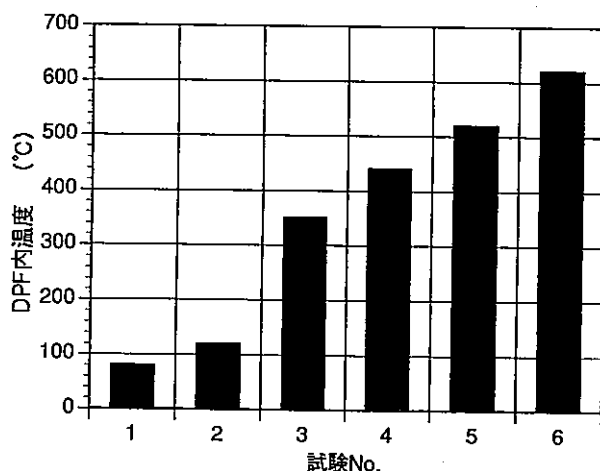


図2・5 後部中心のDPF温度

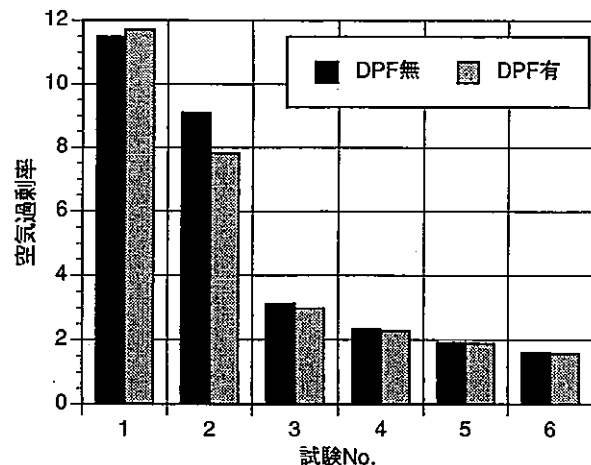


図2-6 空気過剰率

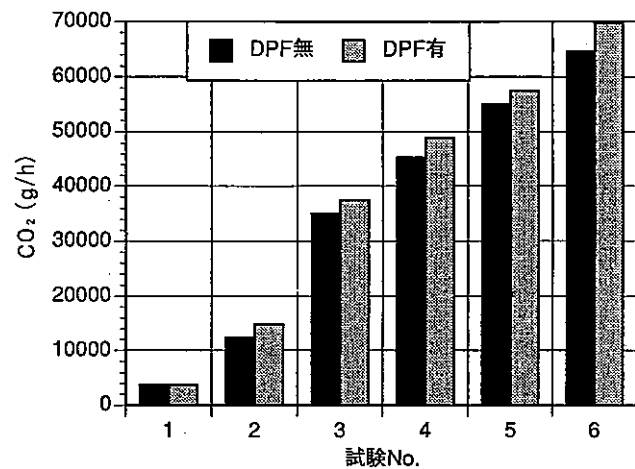


図2-8 CO<sub>2</sub> 排出率

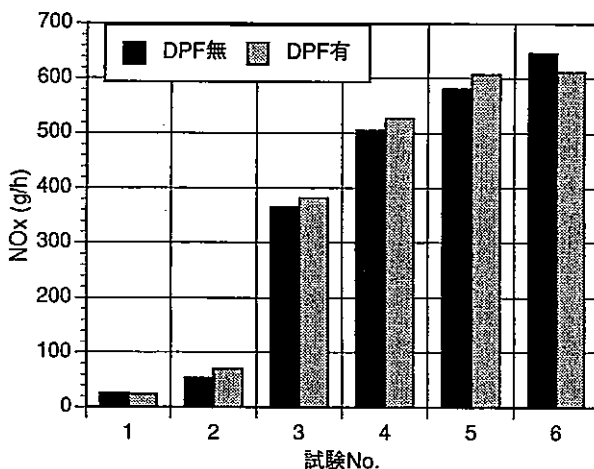


図2-7 NO<sub>x</sub> 排出率

れるため、CO<sub>2</sub>の量が多いと言える。電気ヒータ方式でも車両BのCO<sub>2</sub>が車両Cに比べて多いのは、車両Bの場合、再生中に発電量を増やすためにアイドルアップが働くためである。

表の( )内は再生なしのアイドリングガスの測定値を示すもので、再生ガスとの差がPMの燃焼ガスの排出率となる。再生によって、PM燃焼ガス中のNO<sub>x</sub>の増加はないが、COはアイドリングガスに比べて約4倍ほど増加した。車両A、BにおいてはTHCが増加した。

## (6) 再生ガスを含む排出ガス

ディーゼル自動車排出ガス6モード試験(TRIAS 24-2-1974)を行い、DPFを取り付けたときの排出ガスを測定し、再生ガスを含めた排出ガスの評価を行った。資料III-4の3にDPFシステムの再生ガスを含めた排出ガスの考え方を示し、その考え方に基づく計算を行った結果を表2-6に示す。6モード試験は、再生前後のDPFのPMの堆積量によって排気圧が異なるた

表2-5 再生時の排出ガス(再生ガス)

| 車両<br>DPFシステム               | A                    | B                     | C                   | D         |
|-----------------------------|----------------------|-----------------------|---------------------|-----------|
| アイドリングを含む再生ガス               |                      |                       |                     |           |
| THC (g/h)/(ppmc)            | 34/283 (14/146)      | 30/255 (16/213)       | 6.6/93 (6.6/95)     | 0.03/13   |
| CO (g/h)/(ppm)              | 158/632 (45/236)     | 134/539 (29/188)      | 57.6/409 (15.8/111) | 6.4/1276  |
| NO <sub>x</sub> (g/h)/(ppm) | 30/89 (29/104)       | 43/113 (26/107)       | 41.4/141 (40.2/131) | 0.06/7    |
| CO <sub>2</sub> (g/h)/(%)   | 9776/2.33 (3564/1.2) | 6778/1.79 (3300/1.37) | 3456/1.6 (2996/1.3) | 57.7/0.74 |

( )内はアイドリングガス

表2・6 排出ガス試験結果ならびに再生ガスを含めた評価

| DPFシステム搭載車両名                     | システムA         | システムB                     | システムC                     | システムD                     |
|----------------------------------|---------------|---------------------------|---------------------------|---------------------------|
| 6モード排出ガス測定値<br>(TRIAS 24-2-1974) |               |                           |                           |                           |
| 再生前／再生後                          |               |                           |                           |                           |
| THC(ppm)                         | 148/156       | 125/212                   | 46/66                     | 92/100                    |
| CO (ppm)                         | 232/235       | 296/295                   | 301/272                   | 244/190                   |
| NOx (ppm)                        | 322/324       | 335/334                   | 364/353                   | 361/370                   |
| 6モード+再生時の排出<br>ガス評価              |               |                           |                           |                           |
| 再生前／再生後(規制値)                     |               |                           |                           |                           |
| THC(ppm)                         | 158/167 (510) | 重み<br>係数                  | 140/237 (510)<br>重み<br>係数 | 51/74 (510)<br>重み<br>係数   |
| CO (ppm)                         | 255/259 (790) | 324/323 (790)<br>重み<br>係数 | 318/287 (790)<br>重み<br>係数 | 253/197 (790)<br>重み<br>係数 |
| NOx (ppm)                        | 324/326 (400) | 1.060                     | 340/339 (400)<br>重み<br>係数 | 371/360 (400)<br>1.125    |
|                                  |               |                           |                           | 361/370 (400)<br>1.060    |

め、再生前後の2条件で行った。

再生ガスを含めた排出ガスは、エンジン排出ガスに比べてTHCは数%，COは4～10%レベルで増加するであろう。NO<sub>x</sub>の増加分は小さい。再生後のTHCの排出率は再生前に比べて小さい。これは、排気中のTHCが捕集されたPMへ吸着されることなどが考えられる。

#### (7) 初期に発生するトラブル調査

試験路において都市内の走行を模擬した走行試験を行い、初期に発生するトラブルを抽出した。走行中ならびに再生中の主要部の温度と再生時間を記録し、1日に1回の無負荷急加速試験を行うことによってトラブルの発生を監視した。走行試験は乗車定員の半分に相当する半積条件で行った。走行は朝8時から夕方5時または6時まで連続して10日間、約80時間行った。試験の結果は以下のとおりである。

##### ①試験車両A

1日9時間の走行を行い、午前の4時間走行後と午後は5時間の走行後の2回の再生を行った。特に大きなトラブルの発生は無く試験を終了した。走行中のDPFの温度は200°C前後で、再生時の最高温度は645°Cであった。毎回の再生時間は約18分間で安定しており、無負荷急加速試験の排気煙濃度は0%であった。

##### ②試験車両B

1日8時間の走行を行い、午前午後にそれぞれ4時間の走行の後、1日2回の再生を行った。特に大きなトラブルの発生は無く試験を終了した。走行中のDP

Fの温度は220°C前後で、再生時の最高温度は975°Cであった。再生時の燃え残りが原因と見られる電気ヒータ再生に特有の再生温度の変動があったが、毎回の再生時間は約30分で安定しており、無負荷急加速試験の排気煙濃度は0%であった。

##### ③試験車両C

1日8時間の走行を行い、午前午後にそれぞれ4時間の走行の後、1日2回の再生を行った。走行中のDPFの温度は290°C前後で、再生時の最高温度は1100°C近くに達した。再生時のDPF温度を一定値以下に制御する機構によって再生時の最高温度の変動は小さいが、制御が働くために再生時間が変化した。試験開始後50時間経過後排気煙濃度が高くなり、60時間後、DPFの温度は1100°C以上に上昇し、再生が自動停止した。原因是熱電対の断線であったが、その後の走行試験において排気煙濃度はさらに悪化した。分解点検を行ったところ、DPFにクラックが認められた。

クラックの原因是、残留PM量をできるだけ少なくするために再生温度の上限値を高めに設定したことによる。

##### ④試験車両D

1日9時間の走行の後、6～7時間の再生を行った。特に大きなトラブルの発生は無く試験を終了した。走行中のDPF部の最高温度は240°Cで、再生時の最高温度は920°Cであった。電気ヒータ再生に特有な再生温度の変動は少なかった。DPFシステムCと同様に、本システムも再生時の上限温度を制御しているために、走行開始後DPF内の残留PM量が多くなり、再生時間が徐々に長くなつた。そのため、再生時間を長くする

## フィルタートラップによるディーゼル自動車排出ガスの低減化の実用可能性に関する調査

必要があった。毎回の無負荷急加速試験の排気煙濃度は0%であった。

### (8) 都市内の路線走行

前項の安全性、低公害性、経済性に関する確認試験を行い、ナンバー取得審査の結果、メンテナンス付きDPF試験バスとして、運輸省の道路運送法に基づく認可を受けた。その後、東京都内、横浜市内ならびにつくば市内における路上試験走行を行った。

東京都内と横浜市内の試験では、交通局の協力を得て実際の路線を走行し、ドライバならびに整備関係者から供試車両に関する意見、感想を聴取した。

路上走行試験の結果、ドライバならびに整備に関係する方々には安全な走行ができ、排気煙が目立たないDPFシステムの効果は十分に認められたが、停車再生や手動再生システムについて、実用上の煩わしさならびに再生時間に合わせた走行スケジュールなどの問題指摘をいただいた。

### (9) 耐久信頼性の評価

安全性の確認および初期トラブルの対策の後、再び

試験路を走行する約40日間の走行試験を行った。表2・7に40日間走行後の結果を示す。

各供試車両は熱害などの大きな問題もなく、安全に試験を終了した。しかし、すべての供試車両において何等かのトラブルが発生し、当初予定した走行距離に達しなかった。その大きな原因としては、夏期の炎天下の走行条件を上げることができる。予想以上にPM捕集量が増え、再生時のDPF温度が異常に高いことがわかった。PMの増加の原因としては、エンジン吸気の温度上昇により吸気効率が低下し、酸素が不足したため、またエアコンをフル稼働するために、エンジン負荷が増加して高負荷運転の割合が増えたことなどが考えられる。そのため、DPFの溶損と目詰まりが各1件づつ発生し、捕集量が多すぎて再生時間が長引き、運行スケジュールに支障をきたした。また、再生ボタンなどの押し忘れも起きた。捕集量センサの開発等も重要であるが、人為的なミスを誘発する手動再生等の見直しなどを含めたDPFシステムの再検討が必要となった。

表2・7 40日間の走行結果

| 車両<br>DPFシステム               | A   | B  | C  | D   |
|-----------------------------|---|--|--|---|
| 捕集走行設定時間(h/日)               | 9(4+5時間)  | 8→6(4+4→2+2+2時間)                                 | 8(4+4時間)                                 | 9時間                                       |
| 捕集走行距離(km/日)                | 134(暖気走行を含む)  | 119→91(暖気走行を含む)                                  | 119(暖気走行を含む)                             | 134(暖気走行を含む)                              |
| 再生時間(分)                     | 30(一定)  | 30(一定)   | 45以上                                     | 420→600→690に変更                            |
| 再生回数(回/日)                   | 2   | 2→3  | 2  | 1   |
| 試験日数(日)                     | 40  | 40   | 40                                       | 40  |
| 捕集走行距離(km)                  | 5010/5360(93%)  | 3325/3920(85%)                                   | 4641/4760(98%)                           | 5107/5360(95%)                            |
| 実走行/目標(率)                   | 5010/5360(93%)  | 3325/3920(85%)                                   | 4641/4760(98%)                           | 5107/5360(95%)                            |
| 再生回数(回)                     | 73  | 100  | 78                                       | 39  |
| 再生時間(分)最小/最大                | 30/30   | 30/30  | 45/130                                   | 280/640                                   |
| 無負荷急加速排気煙濃度(%)              |   |  |  |   |
| 最小-最大/最小-最大<br>(バイパス)(DPF付) | 20-40/0-0   | 23-41/0-0  | 30-47/0-12                               | 18-37/0-0                                 |
| DPF交換回数(回)                  | 0   | 1  | 0  | 0   |
| 今後の検討事項                     | ○バーナの着火不良<br>○ボタン操作の誤認<br>○ボタン操作の押し忘れ<br>○プロアーファンの干渉<br>○着火センサの汚損 | ○過捕集によるDPFの破損<br>○バイパスSWの切り替え忘れ<br>○過少捕集による未着火点灯 | ○再生時間の延長<br>○操作ボタンの押し忘れ<br>○再生開始信号を受け付けず | ○過捕集時の再生不良<br>○操作ボタンの押し忘れ<br>○エアーホースの装着未完 |

試験走行パターン：路線バス模擬走行パターン

試験路：JARI外周路

平均車速：14km/h

走行期間：7月20日～9月30日

外気温：17～36°C

### 3. まとめ

1991年度に道路運送法に適合した4台のメンテナンスDPF試験バスを用い、バス路線を走行する際の走行環境（日時の異なる走行形態の変化）に対する試験車両の適応性を評価し、導入のための管理方法ならびに使用方法についての基礎資料を得た。

- ① シャシダイナモを用い定常6条件についてPMを調査した結果、DPFを取り付けることによりディーゼル排ガス中のPMは約80%低減できることがわかった。
- ② 東京都内と横浜市内の試験では、交通局の協力を得て実際の路線を走行し、ドライバならびに整備に関係する方々から、停車再生や手動再生システムの問題指摘をいただいた。
- ③ 都市内の路線バスの走行を模擬した走行試験の結果、すべての供試車両において、何等かのトラブルが発生した。その大きな原因としては、夏期の炎天下の試験条件において、予想以上に捕集量が増えたことがあげられる。

#### ■残された課題

DPFには耐熱性が高く、通気性のあるセラミックスが使われている。しかし、再生時の高温の繰り返し耐久性には、まだ課題が残されている。再生時の温度をどのように制御して、フィルタ保護を如何に行うかが重要な技術的開発課題である。欧米においては、耐久信頼性に関する試験として自治体の運行する路線バスにDPFを搭載して大規模な営業試験運転が行われている。このような試験走行については、わが国では安全上の問題から簡単には行えないが、DPFの開発の上では重要であり自治体の受け入れやすいシステムの検討を早期に行うことが必要である。

### II-5 営業運転に向けての調査

耐久信頼性に関する見直しと交通局の意見を反映したDPFシステムを開発し、エンジンベンチならびに実車試験を行い、営業運転を実施するまでの必要事項を運輸省の指導のもとに調査した。

#### 1. 営業運転用システム

営業運転用の走行中自動再生DPFシステムを装着したエンジンおよび実車の試験を実施し、その性能および安全性を調査した。表1・1に供試システムの諸元を示す。供試DPFシステムの再生方法は大別して3つに分けることができる。一つは捕集したPMをそのままDPF内で、電気ヒータおよびバーナを用いて燃焼させる再生方式のシステムB'、D'であり、もう一つは、PMをDPFの外に払い落としてから燃焼除去する逆洗方式のA'およびC'である。

エンジンベンチ試験には、逆洗方式のシステムA' と電気ヒータ燃焼再生方式のシステムB'およびバーナ再生方式のシステムD'を、走行試験にはシステムB'、C'およびD'を搭載した車両を供試した。供試車両は、実用性走行試験に用いた車両B、CおよびDである。

システムA'、C'およびB'のDPFの基材はコーディエライトで、D'は炭化珪素(SiC)である。図1・1にDPFシステム搭載レイアウトを示す。DPFシステムの4車両の基本的な搭載レイアウトは同じである。車両Dを除く3車両は、従来のマフラーの取り付け場所にDPF本体を取り付けた。走行中の自動再生を示す表示ならびにDPFシステムの異常を知らせるランプは運転席に、DPFコントローラは車両後部座席の後ろに、再生回数を示すカウンタ表示部がエンジン室等に取り